

магнитного поля. Так, в эксперименте получено увеличение магнитного поля в 2,5 раза за время 10 мкс.

Авторы выражают благодарность А. А. Дерибасу, А. Е. Войтенко, А. А. Румянцеву за внимание к работе и полезные обсуждения.

Поступила 12 IX 1975

ЛИТЕРАТУРА

1. Зельдович Я. Б., Райзер Ю. П. Физика ударных волн и высокотемпературных гидродинамических явлений. М., «Наука», 1966.
2. Войтенко А. Е., Соболев О. П. Некоторые случаи ускорения магнитогидродинамической ударной волны.— ПМТФ, 1968, № 2, с. 51.
3. Бай-ши-и. Магнитная газодинамика и динамика плазмы. М., «Мир», 1964.
4. Берд Г. А. Ультравысокие температуры при взаимодействии ударной волны с волнами разрежения.— Сб. пер. Механика, 1966, № 1, с. 95.
5. Ландау Л. Д., Лифшиц Е. М. Механика сплошной среды. М., Гостехиздат, 1953.
6. Войтенко А. Е. Получение газовых струй большой скорости.— «Докл. АН СССР», 1964, т. 158, № 6, с. 1278.
7. Войтенко А. Е. Сильные ударные волны в воздухе.— ЖТФ, 1966, т. 36, № 1, с. 178.
8. Кузнецов Н. М. Термодинамические функции и ударные адабаты воздуха при высоких температурах. М., «Машгостроение», 1965.
9. Спирцер Л. Физика полностью ионизированного газа. М., ИЛ, 1957.
10. Chu C. K. Dynamics of ionizing shock waves; Shocks in transverse magnetic field.— «Phys. Fluids», 1964, vol. 7, N 8.
11. Закайдаков В. В., Сынах В. С. Распространение ударных волн в неоднородной плазме.— ПМТФ, 1976, № 2.
12. Войтенко А. Е., Любимова М. А., Соболев О. П., Сынах В. С. Градиентное ускорение ударной волны и возможные применения этого эффекта. Препринт 14-70. Новосибирск, Ин-т ядерной физики СО АН СССР, 1970.
13. Freiwold D. A. Strong shock propagation through decreasing density.— «J. Fluid Mech.», 1972, N 54, pt 2, p. 297.

УДК 538.4

ВИХРЕВЫЕ ТЕЧЕНИЯ В НЕСЖИМАЕМОЙ ПРОВОДЯЩЕЙ ВЯЗКОЙ ЖИДКОСТИ, ВОЗНИКАЮЩИЕ ПОД ДЕЙСТВИЕМ ПЕРЕМЕННОГО ЭЛЕКТРОМАГНИТНОГО ПОЛЯ

B. И. Яковлев

(Новосибирск)

1. Переменные электромагнитные поля используются во многих магнитогидродинамических процессах (для удержания и стабилизации плазмы [1], для перемешивания жидких металлов [2], управления процессом литья [3] и др.). В большинстве случаев силы Лоренца ($1/c$) [$j \times H$] в проводящей среде не являются потенциальными (следовательно, не могут быть скомпенсированы градиентом давления) и приводят к возникновению вихревого течения проводящей среды. Кроме этого, непотенциальные электромагнитные силы могут оказаться удобным средством для создания «эталонных» вихревых течений для исследовательских целей, так как интерес к последним далеко не исчерпан [4].

Вследствие сложного характера распределения сил Лоренца индуцированное течение может быть весьма своеобразным; это подчеркивает интерес к исследованию вихревых течений в переменных электромагнитных полях.

Из-за нелинейности уравнений магнитной гидродинамики эти задачи в общем случае можно исследовать лишь с использованием современных численных методов. В данной работе с помощью упрощающих предположений, приводящих к линеаризации уравнений, получены точные решения двух задач (внешней и внутренней) со сферической границей раздела проводящей жидкости с непроводящим пространством.

Во внешней задаче проводящая жидкость занимает все бесконечное пространство вне твердого непроводящего шара радиуса r_0 . Переменное с частотой ω электромагнитное поле создается переменным током, локализованным в небольшой окрестности центра шара. Вследствие этого в первом приближении система токов заменяется переменным магнитным моментом. Рассмотрен случай, когда магнитный момент меняется только по величине, направление сохраняется, т. е. $\mathbf{m} = m_0 e^{i\omega t} \mathbf{e}_z$ (фиг. 1, а).

Во внутренней задаче проводящая жидкость заполняет шаровую полость; полость с жидкостью находится в переменном внешнем магнитном поле $\mathbf{H}_0 e^{i\omega t}$, $\mathbf{H}_0 = H_0 \mathbf{e}_z = H_0 (\cos \theta \mathbf{e}_r - \sin \theta \mathbf{e}_\theta)$ (фиг. 1, б).

В дальнейшем о задачах, схематически изображенных на фиг. 1, говорится как о задачах а, б соответственно.

Решения получены при следующих предположениях:

1. Справедливо стоксово приближение в описании течения.
2. Магнитное число Рейнольдса мало, т. е.

$$(1.1) \quad \text{Re}_m = 4\pi\sigma v_0 r_0 / c^2 \ll 1$$

(v_0 — характерная скорость возникающего течения; ν , σ — кинематическая вязкость и проводимость жидкости).

3. Исследуется поведение системы после выхода на периодический режим; процесс выхода на этот режим не рассматривается.

4. Частота ω удовлетворяет условию квазистационарности, т. е. $(\omega/c)r_0 \ll 1$.

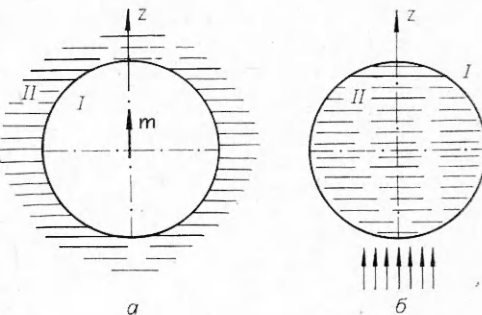
5. Магнитная μ и диэлектрическая ϵ проницаемости всюду равны единице.

Фактически условие (1.1) следует из предположения 1, так как для всех проводящих жидкостей, включая электролиты и жидкие металлы, $\nu_m = c^2/4\pi\sigma \gg \nu$. Последние предположения 5 несущественны для решения и приняты для упрощения конечных формул.

Исследуемый процесс описывается уравнениями магнитной гидродинамики. В силу предположения (1.1) движение жидкости не оказывает влияния на изменение электрического и магнитного полей; электродинамическая задача и задача определения течения, возникающего под действием сил Лоренца, оказываются, таким образом, разделенными. В аналогичной постановке задача о течении жидкости внутри бесконечно длинного цилиндра решена в [5]. Здесь внешнее переменное магнитное поле направлено перпендикулярно оси цилиндра.

2. Поля \mathbf{E} , \mathbf{H} в рассматриваемых задачах удобно вычислять через вектор-потенциал \mathbf{A}

$$\mathbf{E} = -(1/c)\partial\mathbf{A}/\partial t; \quad \mathbf{H} = \text{rot } \mathbf{A}.$$



Фиг. 1

В сферической системе координат (r, θ, α) , связанный с границей раздела сред, вектор \mathbf{A} имеет только одну компоненту $A = A(r, \theta, t)\mathbf{e}_\alpha$, причем вследствие осевой симметрии $\partial/\partial\alpha = 0$. Вектор \mathbf{A} определяется уравнениями

$$(2.1) \quad \Delta \mathbf{A}_1 = 0;$$

$$(2.2) \quad \partial \mathbf{A}_2 / \partial t = (c^2 / 4\pi\sigma) \Delta \mathbf{A}_2$$

и граничными условиями

$$(2.3) \quad A_1|_{r=r_0} = A_2|_{r=r_0};$$

$$(2.4) \quad \frac{\partial A_1}{\partial r}|_{r=r_0} = \frac{\partial A_2}{\partial r}|_{r=r_0};$$

$$(2.5a) \quad A_2|_{r \rightarrow \infty} \neq \infty;$$

$$(2.5b) \quad A_1|_{r \rightarrow \infty} \rightarrow (r/2) H_0 e^{i\omega t}$$

(индексы 1, 2 относятся соответственно к непроводящей и проводящей областям (см. фиг. 1); соотношения, относящиеся только к одной из двух рассматриваемых задач, здесь и далее нумеруются цифрами с индексом а и б).

Кроме условий (2.3)–(2.5), решение задачи а при $r = 0$ должно иметь особенность $(m_0/r^2) \sin \theta e^{i\omega t}$, вызванную магнитным диполем m ; решение задачи б должно быть ограниченным.

Периодическое решение уравнений (2.1), (2.2), удовлетворяющее перенесенным условиям, имеет вид

$$A_1 = m_0 \left(C_1 r + \frac{1}{r^2} \right) \sin \theta e^{i\omega t}, \quad A_2 = C_2 \frac{3m_0}{r_0^{3/2}} \frac{1}{\sqrt{r}} H_{3/2}^{(2)}(kr) \sin \theta e^{i\omega t},$$

$$C_1 = \frac{1}{r_0^3} \frac{(kr_0) H_{1/2}^{(2)}(kr_0)}{3H_{3/2}^{(2)}(kr_0) - (kr_0) H_{1/2}^{(2)}(kr_0)}, \quad C_2 = \frac{1}{3H_{3/2}^{(2)}(kr_0) - (kr_0) H_{1/2}^{(2)}(kr_0)}$$

(для задачи а);

$$A_1 = \left(\frac{m_0}{r^2} + \frac{H_0}{2} \right) r \sin \theta e^{i\omega t}, \quad A_2 = D_2 \frac{J_{3/2}(kr)}{\sqrt{r}} \sin \theta e^{i\omega t},$$

$$m_1 = -\frac{H_0 r_0^3}{2} \left(1 - \frac{3}{k^2 r_0^2} + \frac{3}{kr_0} \operatorname{ctg} kr_0 \right), \quad D_2 = 3r_0 \sqrt{\frac{\pi}{8k}} \frac{1}{\sin kr_0} H_0$$

(для задачи б),

где $k = (1-i)/\delta$, $\delta = c/\sqrt{2\pi\sigma}$ — толщина скрин-слоя; постоянная m_1 имеет смысл амплитуды магнитного момента, приобретаемого проводящим шаром в поле $H_0 e^{i\omega t}$; $H_\lambda^{(2)}(x)$ — вторые функции Ханкеля [6] порядка λ ; $J_{3/2}(x)$ — функции Бесселя порядка 3/2.

3. Течение несжимаемой проводящей жидкости описывается уравнениями гидродинамики

$$(3.1) \quad \operatorname{div} \mathbf{v} = 0;$$

$$(3.2) \quad \operatorname{rot} \mathbf{v} = \mathbf{w};$$

$$(3.3) \quad \partial \mathbf{w} / \partial t + \mathbf{v} \operatorname{rot} \operatorname{rot} \mathbf{w} = (1/\rho c) \operatorname{rot} [\mathbf{j} \times \mathbf{H}].$$

Так как используется стоксово приближение, в последнем уравнении отброшен нелинейный член $\operatorname{rot}[\mathbf{v} \times \mathbf{w}]$. Входящие в правую часть (3.3) силы Лоренца $(1/c)[\mathbf{j} \times \mathbf{H}] = (\sigma/c)[\mathbf{E}_2 \times \mathbf{H}_2]$ вычисляются по решению

электродинамической части задачи и могут быть записаны в виде

$$(3.4) \quad (1/c)[\mathbf{j} \times \mathbf{H}] = (\sigma/2c) [(\mathcal{E}_2 \mathcal{K}_{2r}^* \mathbf{e}_\theta - \mathcal{E}_2 \mathcal{K}_{20}^* \mathbf{e}_r) + (\mathcal{E}_2 \mathcal{K}_{2r} \mathbf{e}_\theta - \mathcal{E}_2 \mathcal{K}_{20} \mathbf{e}_r) e^{2i\omega t}],$$

где \mathcal{E}_2 , \mathcal{K}_2 — комплексные амплитуды в выражениях $E_2(r, \theta, t) = \mathcal{E}_2(r, \theta)e^{i\omega t}$, $H_2(r, \theta, t) = \mathcal{K}_2(r, \theta)e^{i\omega t}$. Из (3.4) видно, что силовое поле состоит из стационарной и осциллирующей частей с удвоенной частотой. Вследствие этого и течение жидкости складывается из аналогичных составляющих.

Завихренность течения w имеет отличную от нуля α -компоненту, т. е. $w = w(r, \theta, t)\mathbf{e}_\alpha$. Известны следующие граничные условия для $w(r, \theta, t)$:

$$(3.5a) \quad w|_{r=\infty} \neq \infty;$$

$$(3.5b) \quad w|_{r=0} \neq \infty.$$

При $r = r_0$ граничные условия для завихренности неизвестны. Решение уравнения (3.3) представляется в виде суммы

$$w(r, \theta, t) = (\Phi_0(r)/r) \sin 2\theta + (\Phi_1(r)/\sqrt{r}) \sin 2\theta e^{2i\omega t},$$

где первое слагаемое описывает стационарное течение, второе — осциллирующее.

Функции $\Phi_0(r)$ для задач a и b , удовлетворяющие условиям (3.5а, б), имеют вид

$$\Phi_0(r) = C_0 r^{-2} + B_1 \left[\left(\frac{3\delta}{4r^2} + \frac{1}{4r} - \frac{1}{6\delta} + \frac{r}{6\delta^2} - \frac{r^2}{3\delta^3} \right) e^{-\frac{2r}{\delta}} + \frac{2r^3}{3\delta^4} \int_r^\infty x^{-1} e^{-\frac{2x}{\delta}} dx \right]$$

(для задачи a):

$$\Phi_0(r) = D_0 r^3 + B_2 \left[\left(\frac{3\delta}{4r^2} - \frac{r^2}{3\delta^3} \right) \left(\sin \frac{2r}{\delta} - \operatorname{sh} \frac{2r}{\delta} \right) + \frac{1}{4r} \left(\operatorname{ch} \frac{2r}{\delta} - \cos \frac{2r}{\delta} \right) + \frac{r}{6\delta^2} \left(\operatorname{ch} \frac{2r}{\delta} + \cos \frac{2r}{\delta} \right) + \frac{1}{6\delta} \left(\sin \frac{2r}{\delta} + \operatorname{sh} \frac{2r}{\delta} \right) + \frac{2r^3}{3\delta^4} \int_0^r x^{-1} \left(\cos \frac{2x}{\delta} - \operatorname{ch} \frac{2x}{\delta} \right) dx \right]$$

$$(для задачи b), где $B_1 = \frac{9}{20\pi^2} \frac{m_0^2}{r_0^3} \frac{1}{\rho v \delta} |C_2|^2$, $B_2 = \frac{1}{20\sqrt{2}\pi^2} \frac{1}{\rho v \delta} |D_2|^2$;$$

C_0 , D_0 — произвольные константы, которые будут найдены при определении поля скоростей.

Приведем выражение для $\Phi_1(r)$, справедливое для задачи a в предельном случае сильного скин-эффекта, т. е. при $\delta \ll r_0$,

$$\Phi_1(r) = \alpha e^{-2(1+i)\frac{r-r_0}{\delta_1}} + \alpha_1 e^{-2(1+i)\frac{r-r_0}{\delta}},$$

$$\alpha_1 = i \left(\frac{3}{4\pi} \right)^2 \frac{\sqrt{r_0}}{\rho v} \left(\frac{\delta_1}{\delta} \right)^2 \left(\frac{m_0}{r_0^3} \right)^2 e^{-2(1+i)\frac{r_0}{\delta}} C_2^2, \quad \delta_1 = 2 \sqrt{\frac{v}{\omega}},$$

α — неопределенная константа; δ_1 — «вязкий скрин-слой», причем из-за $v \ll v_m = c^2/4\pi\sigma$ всегда $\delta_1 \ll \delta$.

4. По найденным завихреностям $w_0 = (\Phi_0(r)/r) \sin 2\theta e_\alpha$, $w_1 = (\Phi_1(r)/\sqrt{r}) \sin 2\theta e^{2i\omega t} e_\alpha$ поле скоростей определяется уравнениями (3.1), (3.2). Уравнение (3.1) тождественно удовлетворяется введением вектор-потенциалов $\Psi_0(r, \theta)e_\alpha$ и $\Psi_1(r, \theta)e^{2i\omega t}e_\alpha$ соответственно для скоростей стационарного и осциллирующего течений

$$(4.1) \quad v^0 = \operatorname{rot} [\Psi_0(r, \theta)e_\alpha], \quad v^1 = \operatorname{rot} [\Psi_1(r, \theta)e_\alpha] e^{2i\omega t}.$$

Решения для Ψ_0 , Ψ_1 строятся разделением переменных

$$(4.2) \quad \Psi_0(r, \theta) = \psi_0(r) \sin 2\theta; \quad \Psi_1(r, \theta) = \psi_1(r) \sin 2\theta,$$

причем, согласно (3.2), функции $\psi_0(r)$, $\psi_1(r)$ должны удовлетворять уравнениям

$$(4.3) \quad (d^2/dr^2)(r\psi_0) - 6\psi_0/r = -\Phi_0(r);$$

$$(4.4) \quad (d^2/dr^2)(r\psi_1) - 6\psi_1/r = -\sqrt{r}\Phi_1(r)$$

и граничным условиям

$$\psi_i(r_0) \neq \infty, (d/dr)(r\psi_i)|_{r=r_0} = 0 \quad (i = 0, 1),$$

$\psi_i(\infty) = 0$ (для задачи a), $\psi_i(0) \neq \infty$ (для задачи b). (На каждое уравнение (4.3), (4.4) второго порядка накладывается по три условия. Решение возможно, так как по одной свободной константе содержится в $\Phi_0(r)$ и $\Phi_1(r)$.)

Компоненты скорости v^0 , согласно (4.1), (4.2), выражаются через ψ_0 соотношениями

$$(4.5) \quad v_r^0 = (2\psi_0/r)(3\cos^2\theta - 1), \quad v_\theta^0 = -(1/r)(d/dr)(r\psi_0)\sin 2\theta$$

(выражения для v_r^1 , v_θ^1 аналогичны).

В результате решения уравнения (4.3) получаются следующие выражения для величин, определяющих по (4.5) поле скоростей v^0 :

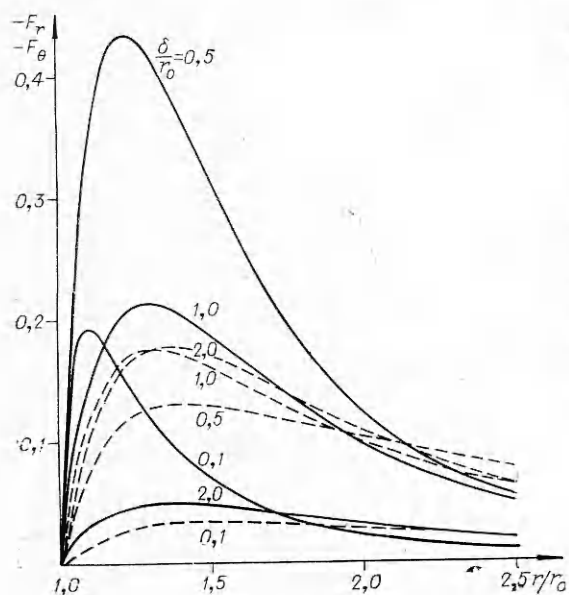
$$(4.6) \quad \frac{1}{r}\psi_0(r) = V_0 F_r^0(r), \quad \frac{1}{r}\frac{d}{dr}(r\psi_0) = V_0 F_\theta^0(r).$$

Так как $F_\theta^0 = (1/r)d/dr(r^2 F_r^0)$, приведем выражения лишь для F_r^0 . Для задачи a

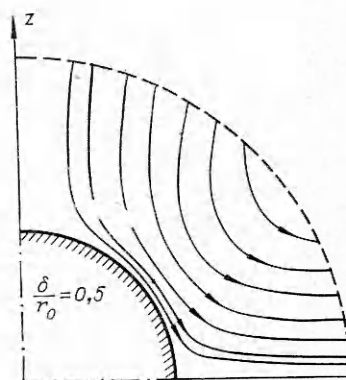
$$\begin{aligned} F_r^0 &= k_1 \frac{r_0}{r} \left\{ 7\chi(r_0) \frac{r_0}{r} \left(1 - \frac{r_0^2}{r^2} \right) + 2 \left[\chi(r_0) \frac{r_0^3}{r^3} - \right. \right. \\ &\quad \left. \left. - \chi(r) \right] + 15 \left[\frac{r_0 \delta^2}{r^3} \left(2 + \frac{\delta}{r_0} \right) - \frac{\delta^2}{r^2} \left(2 + \frac{\delta}{r} \right) e^{-\frac{2(r-r_0)}{\delta}} \right] \right\}; \\ \chi(r) &= \left(2 \frac{r^2}{\delta^2} - 4 \frac{r^3}{\delta^3} - 2 \frac{r}{\delta} + 3 - 6 \frac{\delta}{r} \right) e^{-\frac{2(r-r_0)}{\delta}} + \\ &\quad + 8 \frac{r^4}{\delta^4} \int_{r/r_0}^{\infty} x^{-1} e^{-\frac{2r_0(x-1)}{\delta}} dx, \\ k_1 &= \left[9 \frac{\delta^2}{r_0^2} \left(1 + \frac{\delta}{r_0} \right)^2 + \left(2 + 3 \frac{\delta}{r_0} \right)^2 \right]^{-1}; \end{aligned}$$

размерная постоянная V_0 , представляющая масштаб скорости, имеет значение

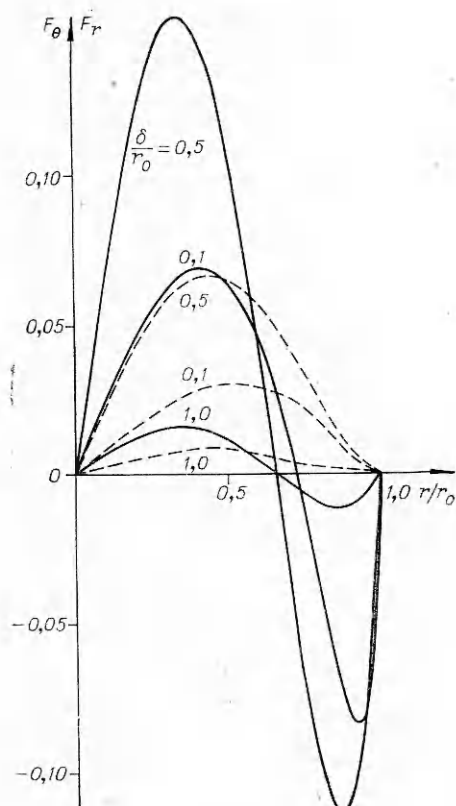
$$V_0 = \frac{3}{140} \frac{r_0}{8\pi\rho\nu} \left(\frac{r_0}{r_0^3} \right)^2.$$



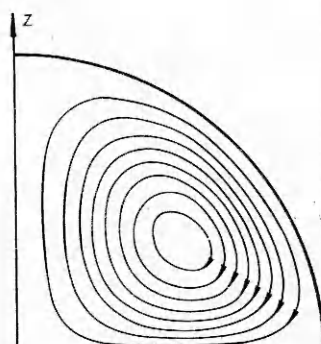
Фиг. 2



Фиг. 3



Фиг. 4



Фиг. 5

Здесь параметр m_0/r_0^3 характеризует масштаб [приложенного магнитного поля].

Безразмерные функции F_r^0 , F_θ^0 , определяющие по (4.3), (4.6) распределение по радиусу компонент v_r^0 , v_θ^0 скорости стационарного течения, представлены на фиг. 2 для различных значений δ/r_0 (кривые для F_r^0 проведены штрихом).

В случае $\delta \ll r_0$ полученные формулы упрощаются. При этом

$$(4.7a) \quad F_r^0 = \frac{105}{4} \frac{\delta^2}{r_0^2} \frac{1 - (r/r_0)^2}{(r/r_0)^4};$$

$$(4.8a) \quad F_\theta^0 = \frac{105}{2} \frac{\delta^2}{r_0^2} \left(\frac{r_0}{r} \right)^4 \left[1 - \frac{r}{r_0} e^{-\frac{2(r-r_0)}{\delta}} \right].$$

Из (4.8а) видно, что θ — компонента скорости очень быстро (на расстоянии порядка δ от границы) выходит на максимальное значение, а затем как $(r_0/r)^4$ спадает до нуля; радиальная компонента, как видно из (4.7а), выходит на максимум лишь при $r = \sqrt{2}r_0$. Приведенные формулы показывают, что при малых δ скорость стационарного течения пропорциональна δ^2 . Из фиг. 2 видно, что максимальных значений r и θ — компоненты скорости — достигают при $\delta/r_0 \approx 1,0$ и $\delta/r_0 \approx 0,5$ соответственно. При дальнейшем увеличении δ скорости падают.

Наглядное представление о характере стационарного течения можно получить из фиг. 3, где представлены линии тока (линии постоянных значений $r\psi_\alpha(r) \sin 2\theta \sin \theta$) для случая $\delta/r_0 = 0,5$. Так как $v_\alpha = 0$, линии тока представляют собой плоские кривые, лежащие в плоскостях $\alpha = \text{const}$. На фиг. 3 изображены линии тока в верхней полусфере; течение в нижней полусфере симметрично относительно плоскости $z = 0$ (или $\theta = \pi/2$), поэтому оно не представлено.

Для задачи б выражение для F_r^0 имеет вид

$$\begin{aligned} F_r^0 &= k_2 \frac{r}{\delta} \left[\left(1 - \frac{r^2}{r_0^2} \right) \left[\chi_1(r_0) - \frac{5}{2} \chi_2(r_0) \right] + \right. \\ &\quad \left. + \chi_1(r) + \chi_2(r) - \chi_1(r_0) - \chi_2(r_0) \right], \\ \chi_1(r) &= \left(\frac{r}{3\delta} - \frac{\delta}{6r} + \frac{\delta^3}{2r^3} \right) \sin \frac{2r}{\delta} - \left(\frac{1}{6} - \frac{\delta^2}{4r^2} \right) \cos \frac{2r}{\delta} - \\ &\quad - \left(\frac{\delta}{6r} + \frac{r}{3\delta} + \frac{\delta^3}{2r^3} \right) \operatorname{sh} \frac{2r}{\delta} - \left(\frac{\delta^2}{4r^2} + \frac{1}{6} \right) \operatorname{ch} \frac{2r}{\delta} - \frac{2r^2}{3\delta^2} \times \\ &\quad \times \int_0^{r/\delta} x^{-1} (\cos 2x - \operatorname{ch} 2x) dx, \\ \chi_2(r) &= \frac{5\delta^4}{8r^4} \left[\frac{\delta}{r} \sin \frac{2r}{\delta} - 2 \cos \frac{2r}{\delta} + \frac{\delta}{r} \operatorname{sh} \frac{2r}{\delta} - 2 \operatorname{ch} \frac{2r}{\delta} \right], \\ k_2 &= \frac{r_0/\delta}{\left(\sin \frac{r_0}{\delta} \operatorname{cl} \frac{r_0}{\delta} \right)^2 + \left(\cos \frac{r_0}{\delta} \operatorname{sh} \frac{r_0}{\delta} \right)^2}, \\ V_0 &= \frac{9}{560} \frac{r_0}{8\pi\rho v} \left(\frac{m_0}{r_0^3} \right)^2. \end{aligned}$$

На фиг. 4 приведены функции F_r^0 и F_θ^0 в зависимости от безразмерного радиуса r/r_0 для значений $\delta/r_0 = 0,1; 0,5; 1,0$ (кривые для F_r^0

проведены штрихом). При $\delta/r_0 = 2,0$ значения F_r^0 и F_θ^0 практически обращаются в пуль и при выбранных на фиг. 4 масштабах изображены быть не могут. Из фиг. 4 видно, что максимальных значений скорость течения достигает примерно в районе $\delta/r_0 = 0,5$. Линии тока для этого значения $\delta/r_0 = 0,5$ даны на фиг. 5.

Приведем решение для осциллирующей части течения в случае $\delta \ll r_0$ (задача *a*). Решение уравнения (4.4), удовлетворяющее необходимым граничным условиям, имеет вид

$$\begin{aligned} \psi_1(r) = & -V_1 r_0 \frac{\delta \delta_1^3}{r r_0^3} \left\{ (1+i) \frac{r_0^2}{r^2} \left(\frac{r_0}{\delta_1} - \frac{r_0}{\delta} \right) - \left[(1+i) \frac{r_0}{\delta_1} - 1 \right] e^{-2(1+i) \frac{r-r_0}{\delta}} + \right. \\ & \left. + \left[(1+i) \frac{r_0}{\delta} - 1 \right] e^{-2(1+i) \frac{r-r_0}{\delta_1}} \right\}; \\ V_1 = & \frac{9}{64} \frac{r_0}{8\pi\rho v} \left(\frac{m_0}{r_0^3} \right)^2. \end{aligned}$$

Отсюда видно, что амплитуда радиальной составляющей v_r^1 скорости осциллирующей части течения очень быстро увеличивается от нулевого значения при $r = r_0$ до максимального значения $v_{\max}^1 = \sqrt{\frac{2}{\pi}} \frac{\delta \delta_1^2}{r_0^3} V_1$ при $r \approx r_0 + \delta$, а затем падает как $(r_0/r)^3$. Аналогично себя ведет компонента v_θ^1 , причем ее максимальное значение в два раза выше, чем для v_r^1 , падение происходит как $(r_0/r)^4$.

Сравнение v_{\max}^1 с максимальным значением радиальной компоненты скорости стационарного движения, равным $v_{\max}^0 = (105/4) (\delta^2/r_0^2) V_0$ (при $\delta \ll r_0$), показывает, что их отношение

$$\frac{v_{\max}^1}{v_{\max}^0} \sim \frac{\delta_1}{r_0} \frac{\delta_1}{\delta} = \frac{\delta}{r_0} \left(\frac{\delta_1}{\delta} \right)^2 \ll 1,$$

т. е. скорости осциллирующего течения очень малы по сравнению со скоростью стационарного течения.

Автор выражает благодарность В. И. Хопничеву за помощь в получении численных величин.

Поступила 8 XII 1975

ЛИТЕРАТУРА

1. Осовец С. М. Динамические методы удержания и стабилизации горячей плазмы.— «Усп. физ. наук», 1974, т. 112, вып. 4.
2. Повх И. Л., Капуста А. Б., Чекин Б. В. Магнитная гидродинамика в металлургии. М., «Металлургия», 1974.
3. Гецеев З. Н. О формировании жидкого металла магнитным полем при непрерывном литье.— «Магнитная гидродинамика», 1972, № 4.
4. Лаврентьев М. А., Шабат Б. В. Проблемы гидродинамики и их практические модели. М., «Наука», 1973.
5. Sneyd A. Generation of fluid motion in a circular cylinder by an unsteady applied magnetic field.— «J. Fluid Mech.», 1971, vol. 49, p. 4.
6. Лаврентьев М. А., Шабат Б. В. Методы теории функций комплексного переменного. М., «Наука», 1958.